

составляла  $\approx 10$  К, но минимальная  $T_{ш}$  приемника из-за относительно высокой  $T_{ш}$  УПЧ входу смесителя составляла уже 400 К, а по фланцу снаружи криостата 570 К.

Таким образом, в 8-мм диапазоне на окисных свинцовых переходах СИС реализован классический режим смешения. Созданный практический смеситель имеет в классическом режиме достаточно высокие параметры, которые в приемнике с малощумящим УПЧ ( $T_{ш} = 10 \div 15$  К) могут обеспечить низкую шумовую температуру устройства в целом. Исползованные в смесителе переходы СИС по своим параметрам могут быть применены и в коротковолновой части миллиметрового диапазона уже в квантовом режиме.

Авторы благодарны С. А. Песковацкому за поддержку работы, А. М. Королеву за предоставление УПЧ.

### Литература

- [1] *Tucker J. R., Feldman M. J.* Rev. Mod. Phys., 1985, v. 57, N 4, p. 1055—1113.
- [2] *Губанков В. Н., Константиныч К. И., Кошелев В. П., Овсянников Г. А.* Письма в ЖТФ, 1982, т. 8, № 24, с. 1498—1501.
- [3] *Megerlein J. H.* IEEE Trans. Magn., 1981, т. 17, № 1, p. 286—289.
- [4] *Van der Ziel A.* IEEE J. Quant. Electr., 1983, v. 19, N 5, p. 799.
- [5] *Woody D. P., Miller R. E., Wengler M. J.* IEEE Trans. MTT, 1985, v. 33, N 2, p. 90—95.

Радиоастрономический институт  
АН УССР  
Харьков

Поступило в Редакцию  
9 июня 1987 г.

УДК 538.221

Журнал технической физики, т. 58, в. 8, 1988

## ДИНАМИКА ВЕРТИКАЛЬНОЙ БЛОХОВСКОЙ ЛИНИИ ВБЛИЗИ ИЗГИБНОЙ НЕУСТОЙЧИВОСТИ ДОМЕННОЙ ГРАНИЦЫ

А. Ф. Попков

Динамика блоховских линий играет ключевую роль в устройстве магнитной памяти параллельно-последовательного типа со сверхбольшой плотностью записи информации [1]. Теоретические вопросы динамики собственно вертикальных блоховских линий достаточно интенсивно обсуждались в последнее время в литературе (см., например, [2—4]), но без учета неколокальных полей размагничивания. Некоторые вопросы влияния дальнедействующих полей рассеяния, возникающих при изгибах доменной границы, на динамику стенки и блоховской линии рассмотрены в [5, 6].

В магнитоодноосной пленке с большой перпендикулярной анизотропией дальнедействующие магнитоэстатические поля, как известно [7, 8], приводят к изгибной неустойчивости плоской доменной границы при малой величине градиента магнитного поля  $H'$ , стабилизирующего ее положение. Очевидно, что тенденция к изгибной неустойчивости снижает «жесткость» стенки, благодаря чему возрастает масса движущейся в ней блоховской линии [5], что согласуется с общими представлениями о линейной динамике блоховских линий [9].

В настоящей работе обращается внимание на возрастание роли нелинейных эффектов в динамике блоховской линии при приближении к точке потери устойчивости стенкой плоского состояния.

Рассмотрим достаточно тонкую магнитную пленку с большой перпендикулярной анизотропией, когда эффектом «скрученности» доменной границы можно пренебречь, а динамика спинов в стенке описывается уравнениями Слончевского [10]. Исходные уравнения с учетом дальнедействующих полей рассеяния, связанных с неоднородным отклонением доменной границы от равновесия, можно представить в виде

$$-a\Psi_t + q_t = 0.5 \sin 2\Psi - \Psi_{xx} + h_x \sin \Psi, \quad (1)$$

$$aq_t + \Psi_t = q_{xx} - b^2q - \beta \int G(\eta) [q(x) - q(x + \eta)] d\eta, \quad (2)$$

где  $\Psi$  — угол выхода намагниченности из плоскости стенки;  $q$  — координата центра стенки, нормированная на ее толщину  $\Delta = (A/K)^{1/2}$ ;  $A$  — постоянная обмена;  $K$  — энергия одноосной

анизотропии;  $b = (H' \Delta / 4 \pi M)^{1/2}$ ;  $M$  — намагнитченность;  $\beta = 1 / \pi h Q^{1/2}$ ;  $Q = K / 2 \pi M^2$ ;  $h$  — толщина пленки, измеряемая в толщинах блоховской линии  $\Delta_L = (A / 2 \pi M^2)^{1/2}$ ; время  $t$  измеряется в единицах  $(\gamma^4 \pi M)^{-1}$ ; координата  $x$  вдоль доменной стенки измеряется в толщинах  $\Delta_L$ ;  $\alpha$  — безразмерный параметр затухания;  $h_x = H_x / 8M$  — нормированное внешнее магнитное поле,

$$G(\eta) = \frac{1}{|\eta|} - \frac{1}{(\eta^2 + h^2)^{1/2}}.$$

В слабодиссипативной среде динамическое искажение структуры движущейся блоховской линии описывается уравнениями свободного движения, которые получаются из (1)–(2) при  $\alpha = h_x = 0$ . Предположим, что динамическое искажение внутренней структуры линии мало, так что автомодельное решение можно представить в виде  $\Psi(x, t) = \Psi_0(x - ut) + \Psi_1(x - ut)$ ,  $q = q(x - ut)$ , где  $\Psi_0 = 2 \operatorname{arctg} \exp(x - ut)$ ,  $|\Psi_1| \ll \pi$ . После линеаризации системы (1)–(2) получим

$$\Psi_{1\xi\xi} - \Psi_1 \cos 2\Psi_0 = uq_\xi, \quad (3)$$

$$q_{\xi\xi} - b^2 q - 2\beta \int G(\eta) [q(\xi) - q(\xi + \eta)] d\eta = -u\Psi_{1\xi} - u\Psi_{0\xi}, \quad (4)$$

где  $\xi = x - ut$ ,  $u$  — нормированная скорость блоховской линии. Учитывая, что характерный размер изгиба доменной стенки, сопровождающего движущуюся линию, велик по сравнению с шириной покоящейся блоховской линии, для приближенного решения (3)–(4) в первом уравнении можно положить  $\Psi_0 = j\pi\Theta(\xi)$ , где  $\Theta(\xi)$  — ступенчатая функция Хэвисайда. Тогда уравнения (3)–(4) легко решаются методом Фурье-преобразования.

$$q = \int_0^\infty \frac{u \cos(k\xi) dk}{[\omega_k^2 - u^2 k^2 / (1 + k^2)] \operatorname{ch}(\pi k / 2)}, \quad (5)$$

$$\Psi_{1\xi} = \int_0^\infty \frac{u^2 k^2 \cos(k\xi) dk}{[\omega_k^2 - u^2 k^2 / (1 + k^2)] \operatorname{ch}(\pi k / 2)}, \quad (6)$$

где

$$\omega_k^2 = b^2 + k^2 - 2\beta [C + \ln(kh/2) + K_0(kh)], \quad (7)$$

$C$  — постоянная Эйлера,  $K_0(x)$  — эллиптическая функция мнимого аргумента. Найденные выражения позволяют определить энергию блоховской линии

$$E(u) = \int (\Psi_\xi^2 + q_\xi^2) d\xi$$

путем разложения ее в ряд по скорости  $u \ll 1$  в виде

$$E = E_0 + \frac{u^2}{2} m_0 (1 + \chi u^2) \dots, \quad (8)$$

где  $E_0 = 2$ , масса покоя

$$m_0 = \int_0^\infty \frac{\pi dk}{\omega_k^2 \operatorname{ch}^2(\pi k / 2)}, \quad (9)$$

коэффициент кинетической нелинейности

$$\chi = \frac{2\pi}{m_0} \int_0^\infty \frac{k^2 dk}{\omega_k^4 (1 + k^2) \operatorname{ch}^2(\pi k / 2)}. \quad (10)$$

На рисунке приведены зависимости массы  $m_0$  (а) и коэффициента  $\chi$  (б) от параметра  $b = (H' \Delta / 4 \pi M)^{1/2}$ , характеризующего величину стабилизирующего градиента  $H'$ . Значение остальных параметров при расчете составляло:  $\beta = 0.16$ ,  $h = 10$ . При подходе к критической величине  $b_c = 0.031$ , при которой возникает изгибная неустойчивость, масса неограниченно нарастает и сильно отличается от ее значения при  $\beta = 0$  (штриховая линия). Коэффициент нелинейности  $\chi$  также неограниченно возрастает, указывая на существенно нелинейный ка-

ракетер динамики блоховских линий при  $b \rightarrow b_c$ . В случае  $\beta=0$  коэффициент нелинейности практически не меняется, даже когда  $b \rightarrow 0$  (штриховая линия на рисунке, б).

Динамические параметры  $m_0$  и  $\alpha$  определяют нелинейную динамику блоховской линии при не слишком больших скоростях. Из уравнений (1)—(2) аналогично работе [3] можно получить уравнение релаксации скорости блоховской линии в виде

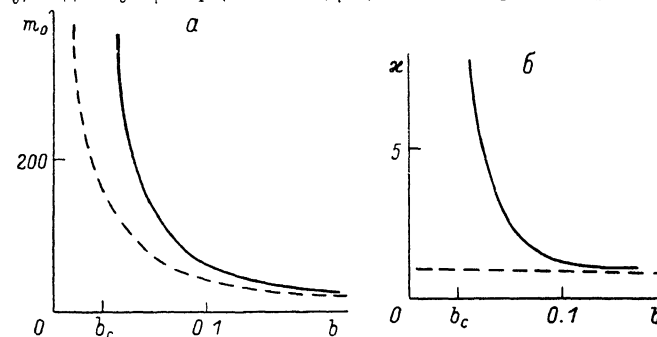
$$\partial_t E(u) + \alpha u^2 E(u) = 2\hbar_{\alpha} u. \quad (11)$$

Неограниченный рост динамических параметров (9)—(10) уравнения (11) при  $b \rightarrow b_c$  связан с расходимостью интегралов (5)—(6). Аналогичная расходимость возникает также при  $b \neq b_c$ , когда скорость достигает критической величины  $u=u_c$ , определяемой условиями

$$b^2 + k_c^2 \left( \frac{u_c^2}{1 + k_c^2} \right) - 2\beta \left[ C + \ln \frac{k_c \hbar}{2} + K_0(k_c \hbar) \right] = 0, \quad (12)$$

$$k_c^2 \left[ 1 - \frac{u^2}{(1 + k_c^2)^2} \right] - \beta [1 - k_c \hbar K_1(k_c \hbar)] = 0. \quad (13)$$

В тонких пленках, когда  $k_c \hbar \ll 1$ ,  $k_c \ll 1$ , при  $b - b_c \ll b_c$  из этих условий следует  $u_c = (b^2 - b_c^2)^{1/2} / \sqrt{2} b_c$ , где  $b_c^2 = \beta \exp(1 - 2C - 4/\beta \hbar^2)$ . Таким образом, предельная скорость ста-



ционарного движения блоховской линии при  $b \rightarrow b_c$  стремится к нулю как  $u_c \sim (b - b_c)^{1/2}$ . Так как выражения (5)—(6) справедливы, когда  $|\Psi_1| \ll \pi$ , то условия расходимости интегралов (12)—(13) дают только приближенную (завышенную) оценку предельной скорости. Она совпадает с минимальной фазовой скоростью спиновых волн в доменной границе без блоховских линий и в пределе  $b \gg b_c$  переходит в верхнюю критическую скорость, определенную в [1]. В критической точке при  $b \rightarrow b_c$  происходит неограниченный рост изгиба, что связано с линейностью уравнения (2), описывающего реакцию доменной стенки на гироскопическое давление со стороны движущейся блоховской линии. При учете нелинейных членов в подынтегральном выражении (2), учитывающих дальнедействующие поля рассеяния, величина изгиба стенки в критической точке останется конечной. В этом случае предельная скорость  $u_c$  при  $b \rightarrow b_c$  будет иметь также конечную величину. Для точного ее определения требуется численное интегрирование нелинейных уравнений (1)—(2), учитывающих соответствующие поправки.

### Литература

- [1] Konishi S. IEEE Trans. Magn., 1983, v. 19, N 5, p. 1838—1840.
- [2] Никифоров А. В., Сонин Э. Б. ЖЭТФ, 1986, т. 90, № 4, с. 1309—1317.
- [3] Звездин А. К., Попков А. Ф. ЖЭТФ, 1986, т. 91, № 5, с. 1789—1798.
- [4] Редько В. Г., Сереченко В. А. Письма в ЖТФ, т. 11, № 17, с. 1068—1070.
- [5] Ходенков Г. Е. ЖТФ, 1987, т. 57, № 6, с. 1170—1172.
- [6] Никифоров А. В. Автореф. канд. дис. Л., 1986.
- [7] Hagedorn F. V. J. Appl. Phys., 1970, т. 41, № 3, с. 1161—1162.
- [8] Schlömann E. IEEE Trans. Magn., 1974, v. 10, № 1, p. 11—17.
- [9] Никифоров А. В., Сонин Э. Б. Письма в ЖЭТФ, 1984, т. 40, № 8, с. 325—327.
- [10] Slonezewski J. C. Intern. Magn., 1972, v. 2, p. 85—97.

Поступило в Редакцию  
12 июня 1987 г.